

Entendendo a Inferência Bayesiana

Métodos Computacionalmente Intensivos

Ana Beatriz Tozzo Martins Edson Antonio Alves da Silva

Orientador: Prof. PhD. Paulo Justiniano Ribeiro Jr.

23 de agosto de 2007

Este trabalho refere-se ao estudo da apostila do curso de Introdução à Inferência Bayesiana¹ reproduzindo (muitas vezes textualmente) aspectos teóricos e resolvendo exercícios e exemplos presentes no material. Foi utilizado também a apostila de Métodos Computacionalmente Intensivos em Estatística².

1 Monte Carlo Simples

Exemplo 1: Seja X uma variável aleatória com distribuição exponencial de parâmetro $\lambda = 1$, ou seja, $f(x) = e^{-x}$, $x \geq 0$. Calcular $P(1 \leq x \leq 3) = P(x \leq 3) - P(x \leq 1)$.

- a) usando a função `pexp` do R.

```
> int.exp = pexp(3, 1) - pexp(1, 1)
> int.exp
[1] 0.3180924
```

- b) usando simulação de Monte Carlo. Os passos necessários são:

- Gerar n valores (λ_i) de uma distribuição uniforme no intervalo (1;3);
- Calcular $g(\lambda_i)$;
- Calcular a média \bar{g} dos $g(\lambda_i)$;
- Calcular $(3 - 1) \times \bar{g}$

```
> n = 10
> x = runif(n, 1, 3)
> g = exp(-x)
> (int.exp = (3 - 1) * mean(g))

[1] 0.3156973
```

- c) Escrevendo uma função geral cujos argumentos serão: número de simulações e limites de integração (intervalo que se pretende calcular a integral).

¹Ehlers, R.S. (2005) *Introdução à Inferência Bayesiana*. Departamento de Estatística, UFPR. Disponível <http://leg.est.ufpr.br/~ehlers/notas/bayes2006>. Acesso em: agosto de 2007.

²Ehlers, R.S. (2003) *Métodos Computacionalmente Intensivos em Estatística*, UFPR. Disponível <http://leg.est.ufpr.br/~ehlers/notas/mci.pdf>. Acesso em: agosto de 2007.

```

> int.exp = function(n, a, b) {
+   x = runif(n, a, b)
+   g = exp(-x)
+   int.exp = (b - a) * mean(g)
+   return(int.exp)
+ }

```

Para o cálculo da $P(1 \leq x \leq 3)$ com $n = 20$ simulações, então fazemos:

```

> int.exp(20, 1, 3)
[1] 0.3477491

```

Uma vantagem em escrever uma função é que podemos repetir facilmente os cálculos. Por exemplo, para obter 20 resultados, cada um com 10 simulações no intervalo $(1; 3)$ fazemos:

```

> m=NULL # garante que a variável m esteja totalmente vazia
> for (i in 1:20){
+   m = c(m,int.exp(10,1,3))
+ }
> m
[1] 0.2698334 0.3327875 0.3037126 0.2612778 0.2880306 0.2747677 0.3650898
[8] 0.2802789 0.3272915 0.3412805 0.3277631 0.3048185 0.3085896 0.3780798
[15] 0.2055650 0.3920031 0.3175781 0.3608137 0.3136632 0.3908758
> summary(m)

  Min. 1st Qu. Median Mean 3rd Qu. Max.
0.2056 0.2861 0.3156 0.3172 0.3462 0.3920

```

Podemos também calcular a esperança de uma função $g(x)$ da v.a. X cuja f.d.p. é $p(x)$. Para isto basta simular valores de $p(x)$ e calcular a $E(X)$.

```

> n = 1000
> x = rexp(n, 1)
> mean(x)

[1] 1.033371

```

Iremos novamente calcular $P(1 \leq x \leq 3)$

```

> sum(x > 1 & x < 3)/n

[1] 0.317

```

O que foi feito aqui? Simplesmente calculamos a proporção (frequência relativa) dos valores simulados que “cairam” no intervalo $(1; 3)$, ou seja, a probabilidade procurada. $Var(X) = E[X - E(X)]^2$, ou seja, $Var(X) = \int (x - E[X])^2 \cdot f(x) dx$ sendo, obviamente, $(x - E[X])^2$ uma função da variável aleatória X . A estimativa de Monte Carlo para essa esperança será:

```

> mean((x - mean(x))^2)

[1] 1.089248

```

É importante ter uma idéia do erro cometido nesta aproximação, ou seja, o Erro de Monte Carlo. Esse erro é obtido medindo-se a variância empírica do estimador de Monte Carlo, dado por:

$$v = \frac{1}{n^2} \sum_{i=1}^n (g(x_i) - \bar{g})^2 = \frac{1}{n} \left(\sum_{i=1}^n \frac{(g(x_i) - \bar{g})^2}{n} \right)$$

```
> v = mean((x - mean(x))^2/n)
> ep = sqrt(v)
> ep
```

```
[1] 0.03300376
```

2 Monte Carlo via Função de Importância

Segundo Ehler(2006), em muitas situações pode ser muito custoso ou mesmo impossível simular valores da distribuição a *posteriori*. Neste caso, pode-se recorrer à uma função $q(\theta)$ que seja de fácil amostragem, usualmente chamada de função de importância. O procedimento é comumente chamado de amostragem por importância. Se $q(\theta)$ for uma função de densidade definida no mesmo espaço variação de θ então:

$$I = \int \left(\frac{g(\theta)p(\theta)}{q(\theta)} \right) q(\theta)d\theta = E \left[\frac{g(\theta)p(\theta)}{q(\theta)} \right]$$

onde a esperança agora é com respeito a distribuição $q(\theta)$. Assim, se dispomos de uma amostra aleatória $\theta_1, \dots, \theta_n$ tomada da distribuição $q(\theta)$ o estimador de Monte Carlo da integral acima fica:

$$\hat{I} = \frac{1}{n} \sum_{i=1}^n \frac{g(\theta_i)p(\theta_i)}{q(\theta_i)}$$

Exemplo 2: Tomemos uma única observação de uma v.a. $X \sim N(\theta; 1)$ sendo θ desconhecido. A experiência ou conhecimento prévio do parâmetro θ como média da distribuição de X leva a supor que $\theta \sim Cauchy(0; 1)$.

2.1 Determinação da distribuição *posteriori*

- $g(x|\theta) \propto e^{-0.5(x-\theta)^2}$;
- $p(\theta) = \frac{1}{\pi(1+\theta^2)}$;
- $p(\theta|x) = \frac{\left(\frac{1}{\pi(1+\theta^2)}\right) \frac{1}{\sqrt{2\pi}} e^{-0.5(x-\theta)^2}}{\int \left(\frac{1}{\pi(1+\theta^2)}\right) \frac{1}{\sqrt{2\pi}} e^{-0.5(x-\theta)^2} d\theta}$.
- $E[\theta|x] = \int \theta p(\theta|x) d\theta = \frac{\int \theta \left(\frac{1}{1+\theta^2}\right) e^{-(x-\theta)^2} d\theta}{\int \left(\frac{1}{1+\theta^2}\right) e^{-(x-\theta)^2} d\theta}$
- $Var(\theta|x) = E[\theta^2|x] - (E[\theta|x])^2$

2.2 Gráfico da priori e da verossimilhança

```
> x=rnorm(1,2,1) # gera valor de x para theta = 2
> par(mfrow=c(1,1), mar=c(3.5,3.5,0.5, 0.5), mgp=c(2, .8, 0))
> curve(dnorm(x,2.666545,1),lty=1, from=-3, to=8, ylab='', xlab=expression(theta))
> curve(dcauchy(x,0,1),from=-3, to=8, add=T, lty=2)
> legend(4,0.35,legend=c('priori (Cauchy)', 'veross.(Normal)'), lty=c(2,1))
```

2.3 Estimativa pontual de θ

Obtenção de $E[\theta|x]$:

- a) gerar $\theta_1, \dots, \theta_n$ ($n = 1000$), independentes, da distribuição $N(x; 1)$;

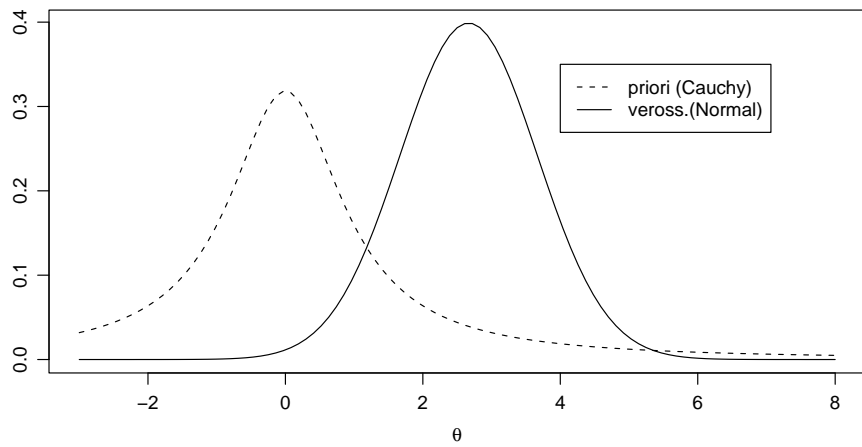


Figura 1: Distribuição a priori (Cauchy(0;1) e verossimilhança (Normal[2,7 ;1])

```

> n = 1000
> set.seed(234)
> x = rnorm(1, 2, 1)
> theta = rnorm(n, x, 1)

b) calcular  $g_i = \frac{\theta_i}{1 + \theta_i^2}$  e  $g_i^* = \frac{1}{1 + \theta_i^2}$ ;
> g.num = theta/(1 + theta^2)
> g.den = 1/(1 + theta^2)

c) calcular  $\hat{E}(\theta|x) = \frac{\sum_{i=1}^n g_i}{\sum_{i=1}^n g_i^*}$ .
> media.theta = mean(g.num)/mean(g.den)
> media.theta

[1] 1.877075

```

2.4 Variância do estimador de θ

Determina-se aqui $Var(\theta|x) = E[\theta^2|x] - (E[\theta|x])^2$.

```

a) cálculo de  $g_i = \frac{\theta_i^2}{1 + \theta_i^2}$ 
> g.num2 = theta^2/(1 + theta^2)

b) cálculo de  $E[\theta^2|x]$ 
> media.theta2 = mean(g.num2)/mean(g.den)

c) cálculo de  $E[\theta^2|x] - E^2[\theta|x]$ 
> var.theta = media.theta2 - (media.theta)^2
> var.theta

[1] 1.065832

```

2.5 Gráfico da distribuição a *posteriori* de θ

- criar um intervalo de variação para θ ;
- para cada valor θ do intervalo, calcular $p(\theta|x)$ na sua forma reduzida (sem a constante normalizadora);
- construir o gráfico do resultado ($\theta \in (-2; 5)$).

```
> x.simul = 2
> par(mar = c(4, 4, 2, 0.5), mgp = c(3, 0.8, 0))
> curve((1/(pi * (1 + x^2))) * ((1/sqrt(2 * pi)) * exp(-0.5 * (x.simul -
+      x)^2)), from = -2, to = 5, ylab = expression(f(theta/x)),
+      xlab = expression(theta), las = 1)
```

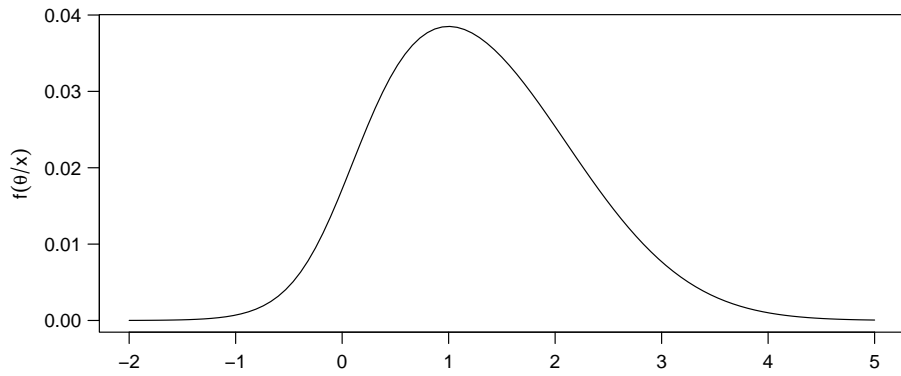


Figura 2: Distribuição da *posteriori* na forma analítica sem a constante normalizadora

2.6 Generalização do problema para k observações

- distribuição *posteriori* $p(\theta|x) \propto \frac{1}{(1+\theta^2)} e^{-0.5k(\bar{x}-\theta)^2}$
- simulando $k = 50$ observações de uma população $N(\theta = 2; \sigma^2 = 1)$.

```
> x = rnorm(50, 2, 1)
c) simulando 1000 observações de  $\theta \sim N(\bar{x}; \sigma^2/\sqrt{k} = 1/\sqrt{50})$ 
```

```
> n = 1000
> theta = rnorm(n, mean(x), 1/sqrt(50))
```

d) cálculo de $g_i = \frac{\theta_i}{1+\theta_i^2}$ e $g_i^* = \frac{1}{1+\theta_i^2}$;

```
> g.num = theta/(1 + theta^2)
> g.den = 1/(1 + theta^2)
```

e) cálculo de $\hat{E}(\theta|x) = \frac{\sum_{i=1}^n g_i}{\sum_{i=1}^n g_i^*}$.

```
> media.theta = mean(g.num)/mean(g.den)
> media.theta
```

[1] 2.072455

f) cálculo de $E[\theta^2|x]$

```
> g.num2 = theta^2/(1 + theta^2)
> media.theta2 = mean(g.num2)/mean(g.den)

g) cálculo de  $E[\theta^2|x] - E^2[\theta|x]$ 

> var.theta = media.theta2 - (media.theta)^2
> var.theta

[1] 0.02010174
```

3 Método de Aceitação-Rejeição

O método consiste em gerar um valor θ^* de uma distribuição auxiliar $q(\theta)$ (costuma-se utilizar a priori) e aceitar esse valor como sendo da distribuição *a posteriori* com probabilidade $p(\theta|x)/Aq(\theta)$, onde A é uma constante finita tal que $p(\theta|x) < Aq(\theta)$. Para efeitos práticos, toma-se A como sendo o valor máximo da função de verossimilhança, ou seja, $A = p(x|\hat{\theta})$ onde $\hat{\theta}$ é o estimador de máxima verossimilhança de θ . Assim, a probabilidade de aceitação e rejeição se torna $p(x|\theta^*)/p(x|\hat{\theta})$. O método também funciona se usarmos a versão não normalizada da *posteriori* dada por: $p(\theta|x) \propto p(x|\theta)p(\theta)$. Se o processo de maximizar a função de verossimilhança for complexo, sugere-se o método da reamostragem ponderada (a seguir). O algoritmo para gerar valores *a posteriori* é:

- gerar um valor θ^* da distribuição a priori;
- gerar $u \sim U(0; 1)$;
- aceitar θ^* como um valor da *posteriori* se $u < p(x|\theta^*)/p(x|\hat{\theta})$, caso contrário, rejeitar θ^* e retornar ao primeiro passo.

Exemplo 3: Tomemos uma única observação de uma v.a. $X \sim N(\theta; 1)$ sendo θ desconhecido. A experiência ou conhecimento prévio do parâmetro θ como média da distribuição de X leva a supor que $\theta \sim Cauchy(0; 1)$.] Suponha que $X_1, \dots, X_n \sim N(\theta; 1)$ e assume-se uma priori *Cauchy*(0; 1) para θ . Sabemos que:

- $p(x|\theta) \propto \exp\left\{-\frac{n}{2}(\bar{x} - \theta)^2\right\}$ é a função de verossimilhança;
- $\hat{\theta} = \bar{x}$ é o EMV de θ ;
- a probabilidade de aceitação será: $\frac{p(x|\theta^*)}{p(x|\hat{\theta})} = \frac{\exp\left\{-\frac{n}{2}(\bar{x} - \theta^*)^2\right\}}{\exp\left\{-\frac{n}{2}(\bar{x} - \bar{x})^2\right\}} = \exp\left\{-\frac{n}{2}(\bar{x} - \theta^*)^2\right\}$.

A aplicação do algoritmo fica:

a) simulando uma amostra de 50 observações de $X \sim N(\theta = 2; 1)$ e obtendo o EMV de θ ;

```
> x = rnorm(50, 2, 1)
> x.bar = mean(x)
```

b) simulando 1000 valores de θ^* a partir da distribuição a priori (*Cauchy*(0; 1));

```
> n = 1000
> theta = rcauchy(n, 0, 1)
```

c) simulando 1000 valores $u \sim U(0; 1)$.

```
> u = runif(n, 0, 1)
```

d) calculando o vetor com as probabilidades para aceitação de cada valor de θ^* simulado

```
> prob = exp(-0.5 * 50 * (theta - x.bar)^2)
```

e) contando os valores de $prob$ que são maiores que o respectivo u simulado;

```
> soma = sum(u < prob)
```

f) determinando a taxa de aceitação.

```
> (taxa = soma/n)
```

```
[1] 0.028
```

- g) a figura 3 mostra o gráfico da priori e da verossimilhança.

```
> par(mar = c(3.5, 3.5, 2, 0.5), mgp = c(2, 0.8, 0))
> curve(dnorm(x, x.bar, 1/sqrt(50)), from = -2, to = 3, ylab = "",
+       xlab = expression(theta))
> curve(dcauchy(x, 0, 1), from = -2, to = 3, add = T, lty = 2)
> legend(-1, 2, legend = c("priori", "veross."), lty = c(2, 1))
> rug(theta)
```

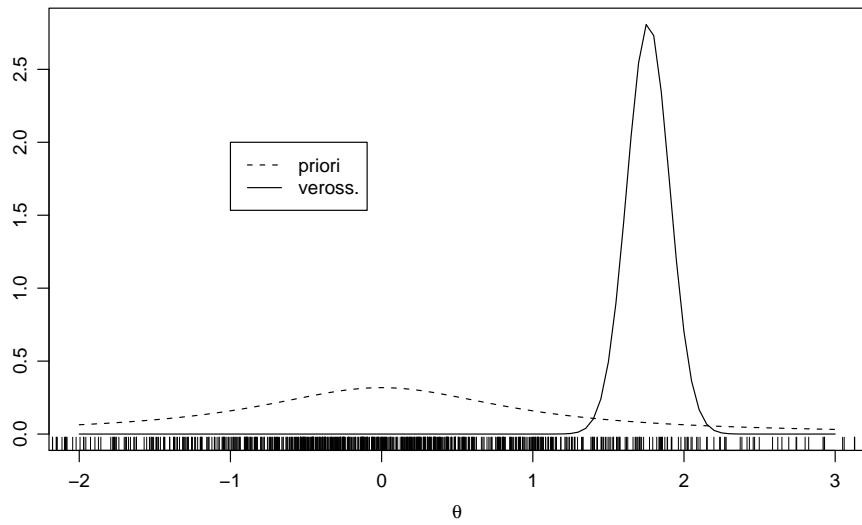


Figura 3: Distribuição da priori e da verossimilhança

Neste exemplo, a taxa de aceitação foi muito baixa (2.8%), significando que, de 1000 valores de θ^* simulados, apenas 28 foram aceitos.

4 Reamostragem Ponderada

O método consiste em gerar os valores de uma distribuição auxiliar, sem a necessidade da maximização da verossimilhança. A desvantagem do método é que os valores obtidos serão apenas aproximadamente distribuídos segundo a *posteriori*. O algoritmo consiste basicamente de:

- gerar valores $\theta_1, \dots, \theta_n$ da distribuição a priori;
- calcular os pesos w_1, \dots, w_n . De uma forma geral, esses pesos são calculados como: $w_i = \frac{p(\theta_i|x)/q(\theta_i)}{\sum_{j=1}^n p(\theta_j|x)/q(\theta_j)}$, $i : 1 \dots, n$
Se tomarmos a priori como a densidade auxiliar, ou seja, $q(\theta) = p(\theta)$, o peso se reduz a:
 $w_i = \frac{p(x|\theta_i)}{\sum_{j=1}^n p(x|\theta_j)}$, $i : 1 \dots, n$;
- reamostrar valores com probabilidades w_1, \dots, w_n .

Exemplo 4: Em um modelo de regressão linear simples temos que $y_i \sim N(\beta x_i; 1)$. Os dados observados são $y = (-2, 0, 0, 0, 2)$ e $x = (-2, -1, 0, 1, 2)$, e usamos uma priori vaga $N(0; 4)$ para β . Faça inferência sobre β obtendo uma amostra da *posteriori* usando reamostragem ponderada. Compare com a estimativa de máxima verossimilhança $\hat{\beta} = 0,8$.

A figura 4 mostra o diagrama de dispersão com a reta de regressão linear ajustada por mínimos quadrados:

```
> par(mar = c(3.5, 3.5, 0.5, 0.5), mgp = c(2, 0.8, 0))
> plot(c(-2, -1, 0, 1, 2), c(-2, 0, 0, 0, 2), xlab = "X", ylab = "Y")
> abline(lm(c(-2, -1, 0, 1, 2) ~ c(-2, 0, 0, 0, 2)))
```

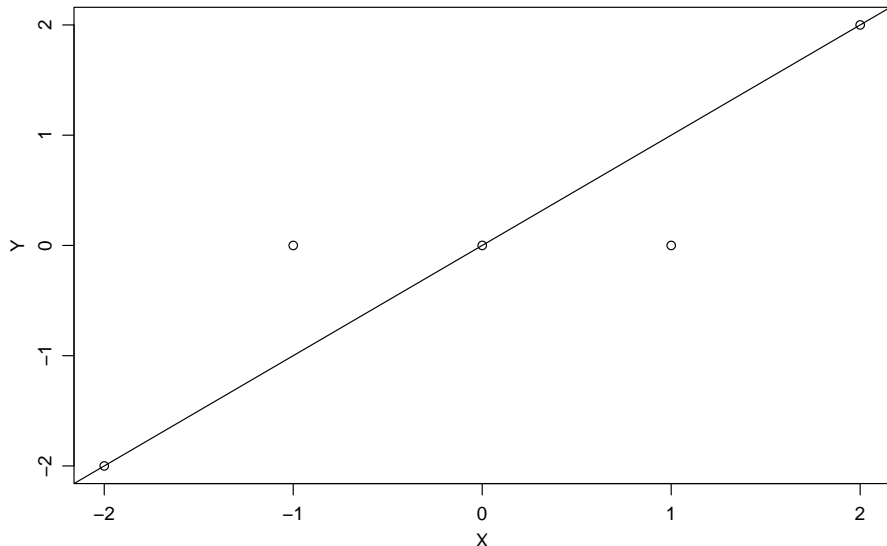


Figura 4: H-scaterplot de X versus Y e reta de regressão

- a) entrando com os valores observados de X e Y .

```
> x = c(-2, -1, 0, 1, 2)
> y = c(-2, 0, 0, 0, 2)
```

- b) gerando 1000 valores $\beta_i \sim N(0; 2^2)$ da distribuição priori;

```

> n = 1000
> beta = rnorm(n, 0, 2)

c) calculando a verossimilhança  $l(\theta_i) = p(x|\theta_i)$ ;
> l = sapply(beta, function(b) exp(-0.5 * (sum((y - b * x)^2))))
d) calculando os pesos  $w_i$ ;
> w = l/sum(l)

e) reamostrando 500  $\beta$ 's com probabilidade  $w$ . Serão escolhidos os 500 valores de  $\beta$  correspondentes às 500 maiores probabilidades  $w$ .
> m = 500
> beta.resample = sample(beta, size = m, rep = T, prob = w)

f) visualizando graficamente o resultado da reamostragem (figura 5).
> hist(beta.resample, main = "")

```

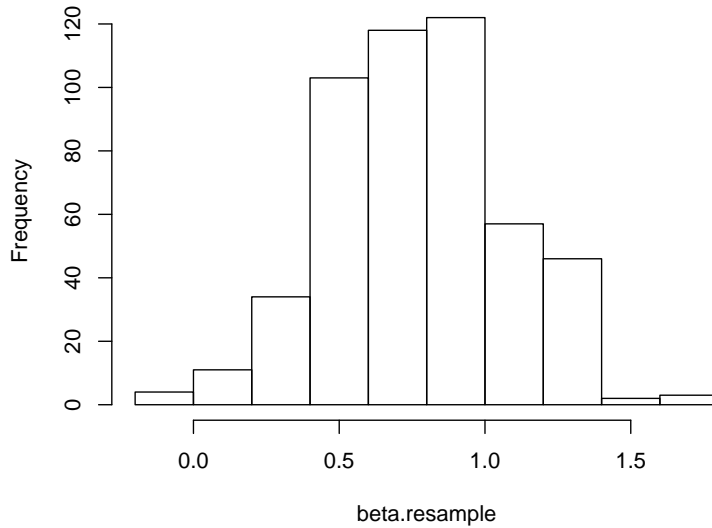


Figura 5: Histograma dos valores reamostrados

Neste exemplo, o estimador $\hat{\beta}$ de β , será a média dos valores reamostrados, dado por $\hat{\beta} = 0.766478020697289$. Podemos ainda visualizar graficamente os valores reamostrados comparados com a distribuição a priori, conforme a figura 6:

```

> curve(dnorm(x, 0, 2), from = -3, to = 3, ylab = "priori", xlab = expression(beta))
> rug(beta.resample)

```

Exemplo 5: Para o mesmo modelo do exemplo 4 e os mesmos dados suponha agora que a variância é desconhecida, i.e. $y_i \sim N(\beta x_i; \sigma^2)$. Usamos uma priori hierárquica para $(\beta; \sigma^2)$, i.e. $\beta|\sigma^2 \sim N(0, \sigma^2)$ e $\sigma^{-2} \sim Gama(0, 1; 0, 1)$.

- (a) Obtenha uma amostra da *posteriori* de $(\beta; \sigma^2)$ usando reamostragem ponderada. Neste problema, $\theta = (\beta; \sigma^2)$. Assim, a priori hierárquica será dada por $p(\beta; \sigma^2) = p(\beta|\sigma^2)p(\sigma^2)$. Será adotado $\beta|\sigma^2 \sim N(0; \sigma^2)$ e $\sigma^{-2} \sim Gamma(0, 1; 0, 1)$.

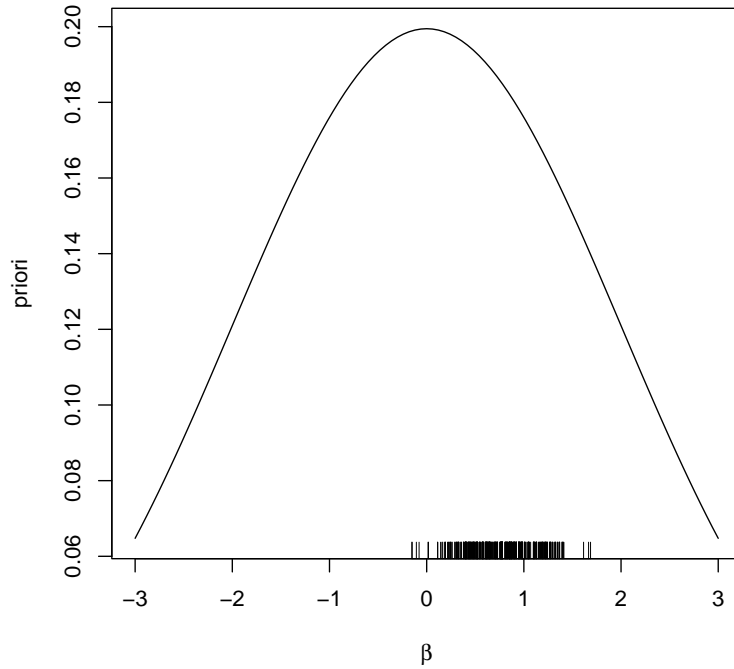


Figura 6: Valores reamostrados comparados com a distribuição a priori

- (b) Baseado nesta amostra, faça um histograma das distribuições marginais de β e σ^2 .
- (c) Estime β e σ^2 usando uma aproximação para a média a *posteriori*. Compare com as estimativas de máxima verossimilhança.

Solução:

- i) simulando valores dos parâmetros σ^2 e $\beta|\sigma^2$ da priori conjunta.

```
> inv.sigma2 = rgamma(n, 0.1, 0.1)
> sigma2 = 1/inv.sigma2
> beta = rnorm(n, sqrt(sigma2))
> theta = cbind(beta, sigma2)
```

- ii) calculando a verossimilhança.

```
> l = sapply(1:1000, function(i) (theta[i, 2] ^ (-length(y)/2)) *
+           exp(-0.5 * sum((y - theta[i, 1] * x) ^ 2) / theta[i, 2]))
```

- iii) calculando os pesos w_i

```
> w = l/sum(l)
```

- iv) reamostrando 500 $\theta = (\beta, \sigma^2)$ com probabilidade w . Serão escolhidos os 500 valores de θ correspondentes às 500 maiores probabilidades w .

```
> ind = sample(1:1000, size = m, rep = T, prob = w)
> theta.resample = theta[ind, ]
```

- iv) As estimativas obtidas das médias marginais serão:

- para β

```
> mean(theta.resample[, 1])
[1] 0.8091704
– para  $\sigma^2$ 
> mean(theta.resample[, 2])
[1] 0.7166245
```

5 Monte Carlo via Cadeias de Markov - MCMC

A idéia do método consiste em utilizar técnicas de simulação iterativa (repetidas) baseadas em Cadeias de Markov para gerar valores correlacionados. Os métodos mais utilizados são: algoritmo de Metropolis-Hastings e Amostrador de Gibbs. Esses métodos realizam um “passeio” aleatório no espaço paramétrico até que o parâmetro convirja para uma distribuição de interesse.

5.1 Algoritmo de Metropolis-Hastings

O algoritmo de Metropolis-Hastings pode ser desenvolvido nos seguintes passos:

1. Escolher o número n de etapas (número de simulações ou número de passos da cadeia).
2. Iniciar o contador de iterações t , fazendo $t = 1$.
3. Especificar um valor inicial para $\theta^{(t)}$.
4. Gerar um valor θ' de uma distribuição proposta $q(\theta'|\theta)$. Esta distribuição proposta pode depender do estado atual da cadeia.
5. Gerar $u \sim U(0; 1)$ (priori);
6. Determinar a probabilidade de aceitação $\alpha(\theta; \theta')$ dada por:

$$\alpha(\theta; \theta') = \min \left\{ 1; \frac{p(x|\theta') p(\theta') q(\theta|\theta')}{p(x|\theta) p(\theta) q(\theta'|\theta)} \right\}$$

onde $p(x|\theta)$ é a distribuição de interesse.

7. Se $u < \alpha(\theta; \theta')$ então o valor de θ' é aceito e $\theta^{(t)} = \theta'$, caso contrário θ' é rejeitado e $\theta^{(t)} = \theta^{(t-1)}$.
8. Se $t = n$ (é o último passo) ir para o passo 11.
9. Incrementar o contador t fazendo $t = t + 1$;
10. Voltar para o passo 4
11. FIM.

Exemplo 6: Em uma certa população de animais sabe-se que cada animal pode pertencer a uma dentre 4 linhagens genéticas com probabilidades

$$p_1 = \frac{1}{2} + \frac{\theta}{4}; \quad p_2 = \frac{1-\theta}{4}; \quad p_3 = \frac{1-\theta}{4}; \quad p_4 = \frac{\theta}{4}$$

sendo $0 < \theta < 1$ um parâmetro desconhecido. Para qualquer $\theta \in (0; 1)$ é fácil verificar que $p_i > 0, i = 1; 2; 3; 4$ e $p_1 + p_2 + p_3 + p_4 = 1$. Observando-se n animais dentre os quais y_i pertencem à linhagem i então o vetor aleatório $Y = (y_1; y_2; y_3; y_4)$ tem distribuição multinomial com parâmetros $n; p_1; p_2; p_3; p_4$ e portanto,

$$\begin{aligned} p(y|\theta) &= \frac{n!}{y_1! y_2! y_3! y_4!} p_1^{y_1} p_2^{y_2} p_3^{y_3} p_4^{y_4} \\ &\propto (2 + \theta)^{y_1} (1 - \theta)^{y_2 + y_3} \theta^{y_4} \end{aligned}$$

Foram observados 197 animais com a quantidade deles nas diferentes categorias dado por $y = (125; 18; 20; 34)$. Gerar uma cadeia de Markov com 1000 valores do parâmetro θ que definirá as proporções $p_1; p_2; p_3; p_4$. Descartar os 100 primeiros valores (amostra de aquecimento)

Solução:

- a) Escolhemos a priori $\theta \sim U(0; 1)$, assim, $p(\theta) = 1 \forall \theta \in (0; 1)$. Assim, a *posteriori* será dada por: $p(\theta|y) \propto (2 + \theta)^{y_1} (1 - \theta)^{y_2+y_3} \theta^{y_4}$

Tomando como distribuição porposta $q(\theta)$ também a distribuição $U(0; 1)$ então, $q(\theta) = 1 \forall \theta$. Assim, a probabilidade de aceitação será dada por:

$$\begin{aligned}\alpha(\theta; \theta') &= \min \left\{ 1, \frac{p(y|\theta')}{p(y|\theta)} \right\} = \\ &= \min \left\{ 1; \left(\frac{2 + \theta'}{2 + \theta} \right)^{y_1} \left(\frac{1 - \theta'}{1 + \theta} \right)^{y_2+y_3} \left(\frac{\theta'}{\theta} \right)^{y_4} \right\}\end{aligned}$$

- b) Criando a função para o cálculo da probabilidade de interesse $p(y|\theta)$.

```
> p = function(teta, y) {
+   p = (2 + teta)^y[1] * (1 - teta)^(y[2] + y[3]) * teta^y[4]
+   return(p)
+ }
```

- c) Criando a função de implementação do algorítimo de simulação de Metropolis-Hastings (Cadeia de Markov);

```
> metr=function(n,y,p,start){
+   theta=matrix(NA, nrow=n)
+   theta[1] = start # valor inicial
+   sucess=0 # quant. de valores aceito
+   for (i in 2:n) {
+     theta.prop = runif(1) # valor proposto
+     A = p(theta.prop,y)/p(theta[i-1],y)
+     prob=min(1,A)
+     theta.u=runif(1)
+     if (theta.u < prob) {
+       theta[i]=theta.prop
+       sucess=sucess+1
+     }
+     else theta[i]=theta[i-1]
+   }
+   taxa=sucess/n
+   return(list(theta=theta, taxa=round(taxa,2)))
+ }
```

- d) Simulando para um valor inicial $\theta = 0.2$

```
> n = 1000
> y = c(125, 18, 20, 34)
> start = 0.2
> m = metr(n, y, p, start)
```

- e) Obtendo a taxa e aceitação e a média, excluindo as 100 primeiras simulações.

```
> m$taxa
[1] 0.17
> mean(m$theta[101:1000])
[1] 0.6250542
```

Exemplo 7:

Suponha que queremos simular valores $X \sim N(0; 1)$ propondo valores $Y \sim N(x; \sigma^2)$.

Solução:

- Neste exemplo, a probabilidade de aceitação-rejeição fica:

$$\begin{aligned}\alpha(x; y) &= \min \left\{ 1; \frac{\pi(y)}{\pi(x)} \frac{q(x|y)}{q(y|x)} \right\} \\ \alpha(x; y) &= \min \left\{ 1; \frac{\exp\{-0.5y^2\}}{\exp\{-0.5x^2\}} \frac{\exp\{(x-y)^2\}}{\exp\{(y-x)^2\}} \right\} \\ \alpha(x; y) &= \min \left\{ 1; \exp \left\{ -\frac{1}{2} (y^2 - x^2) \right\} \right\}\end{aligned}\quad (1)$$

Como podemos notar na equação 1, houve um simplificação no quociente das “propostas”, devido à simetria da função $q(x|y)$ e $q(y|x)$. Esta é a situação de um processo denominado *random walk* no qual o algoritmo dá saltos aleatórios cobrindo mais eficientemente o espaço paramétrico em torno desse novo centro. Neste caso, taxas de aceitação entre 20 e 30

- Definindo uma função para executar o algoritmo.

```
> # proposta q() simetrica
> metrop = function(n,sigma){
+   x = matrix(NA, nrow=n)
+   x[1] = 0
+   sucess = 0
+   for (i in 2:n){
+     y = rnorm(1,x[i-1],sigma)
+     prob = min(1,exp(-0.5*(y^2-x[i-1]^2)))
+     u = runif(1)
+     if (u < prob) {
+       x[i] = y
+       sucess = sucess + 1
+     }
+   else x[i] = x[i-1]
+ }
+ return(list(x=x,taxa=round(sucess/n,4)))
+ }
```

Nesta função, n representa o número de simulações, σ é o desvio padrão da “proposta”, y é simulado da distribuição da “proposta” com média igual ao valor de x obtido no “passo” anterior e os x são os valores da distribuição que desejamos simular.

- Simulando 1000 valores com diferentes valores de σ da “proposta q()”.

```
> n = 1000
> sigma = c(0.05, 2, 4)
> m1 = metrop(n, sigma[1])
> m2 = metrop(n, sigma[2])
> m3 = metrop(n, sigma[3])
> taxa.r = as.numeric(c(m1$taxa, m2$taxa, m3$taxa))
> cat("\n Taxa de aceitação", taxa.r, "\n")
```

Taxa de aceitação 0.988 0.504 0.306

- Construindo gráficos dos valores simulados

```

> par(mfrow = c(1, 3))
> plot(m1$x, type = "l", xlab = "iterações", ylab = expression(theta))
> acf(m1$x, main = "", xlab = "defasagens", ylab = "autocorrelações")
> qqnorm(m1$x[seq(100, n, 5)], pch = "*", main = "", xlab = "Quantil teorico",
+         ylab = "Quantil amostral")
> qqline(m1$x[seq(100, n, 5)], lwd = 2)

```

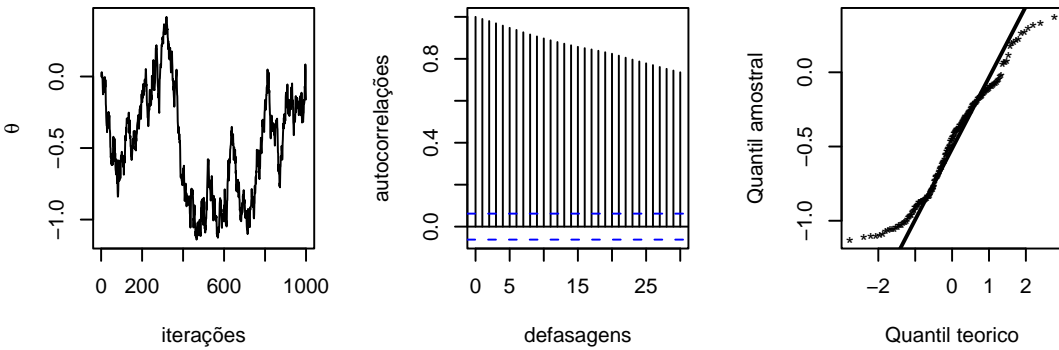


Figura 7: Iterações (esquerda), correlações (centro) de 1000 valores simulados usando o algoritmo de Metropolis-Hastings com $\sigma = 0.05$ e taxa de aceitação de 98.8% e qqplot (direita) com *burning* dos 100 primeiros valores e *thinning* de 5 em 5.

A figura 7 à esquerda mostra a ausência de estacionariedade sugerindo a não-convergência da cadeia. A mesma figura, ao centro, indica uma alta autocorrelação serial. O *thinning* é um procedimento que faz uma espécie de amostragem sistemática no conjunto de valores simulados da distribuição *a posteriori* do(s) parâmetro(s) de interesse. A idéia central consiste em tomar sequencialmente um valor em um intervalo de k simulados. Neste exemplo, os valores simulados da distribuição *a posteriori* deveriam corresponder valores de uma distribuição $N(0; 1)$. Podemos verificar se a suposição é correta contruindo um gráfico `qqnorm`. A figura 7 (direita) ilustra o respectivo `qqnorm` de $\theta|y$ com um *thinning* de 5 simulações e um *burning* das 100 primeiras observações.

```

> par(mfrow = c(1, 3))
> plot(m2$x, type = "l", xlab = "iterações", ylab = expression(theta))
> acf(m2$x, main = "", xlab = "defasagens", ylab = "autocorrelações")
> qqnorm(m2$x[seq(100, n, 5)], pch = "*", main = "", xlab = "Quantil teorico",
+         ylab = "Quantil amostral")
> qqline(m2$x[seq(100, n, 5)], lwd = 1)

```

A figura 8 à esquerda mostra estacionariedade sugerindo a convergência da cadeia. A mesma figura, ao centro, ainda indica uma autocorrelação serial, mas somente para os valores relativamente próximos (menores que o 10^9 valor anterior simulado).

```

> par(mfrow = c(1, 3))
> plot(m3$x, type = "l", xlab = "iterações", ylab = expression(theta))
> acf(m3$x, main = "", xlab = "defasagens", ylab = "autocorrelações")
> qqnorm(m3$x[seq(100, n, 5)], pch = "*", main = "", xlab = "Quantil teorico",
+         ylab = "Quantil amostral")
> qqline(m3$x[seq(100, n, 5)], lwd = 1)

```

A figura 9 à esquerda mostra estacionariedade indicando a convergência da cadeia. A mesma figura, à direita, ainda indica uma alta autocorrelação serial.

```

> par(mfrow = c(1, 3))
> hist(m1$x[seq(100, n, 5)], main = "", xlab = "")

```

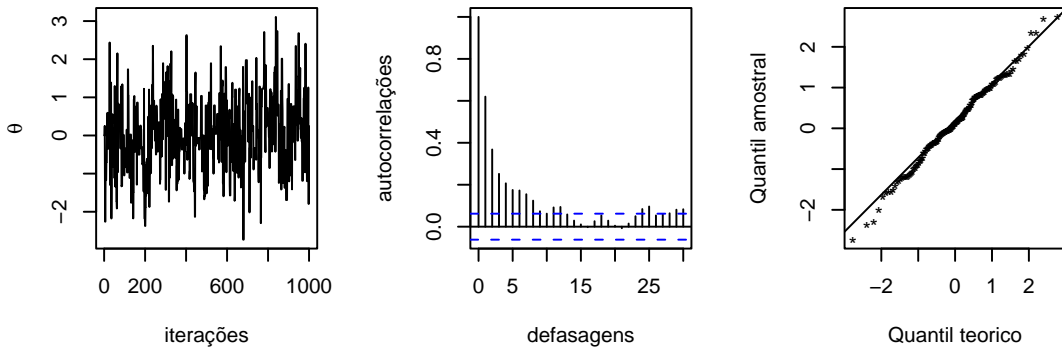


Figura 8: Iterações (esquerda), correlações (centro) de 1000 valores simulados usando o algoritmo de Metropolis-Hastings com $\sigma = 2$ e taxa de aceitação de 50.4% e qqplot (direita) com *burning* dos 100 primeiros valores e *thinning* de 5 em 5.

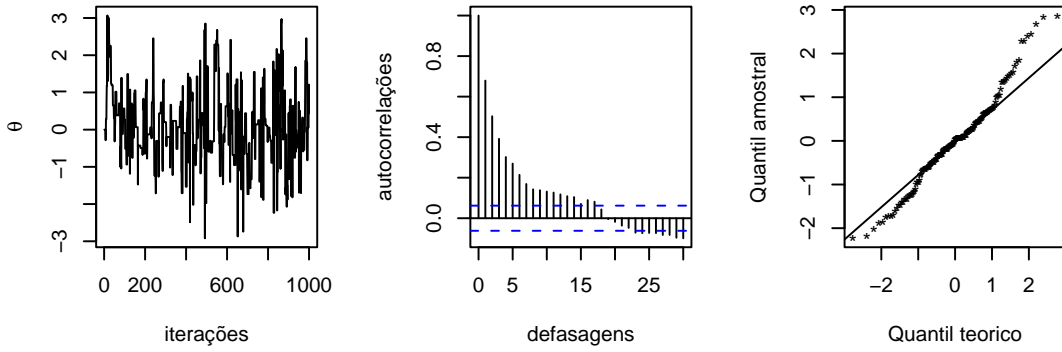


Figura 9: Iterações (esquerda), correlações (centro) de 1000 valores simulados usando o algoritmo de Metropolis-Hastings com $\sigma = 4$ e taxa de aceitação de 30.6% e qqplot (direita) com *burning* dos 100 primeiros valores e *thinning* de 5 em 5.

```
> hist(m2$x[seq(100, n, 5)], main = "", xlab = "")  
> hist(m3$x[seq(100, n, 5)], main = "", xlab = "")
```

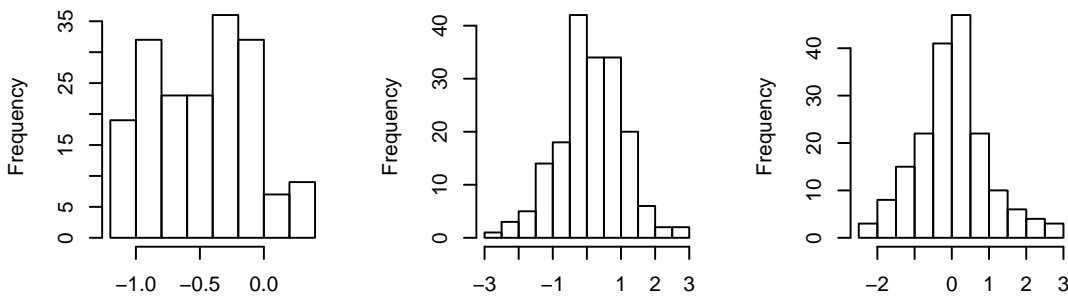


Figura 10: Distribuição da *posteriori* para $\sigma_1 = 0.05$ (esquerda), $\sigma_2 = 2$ (centro) e $\sigma_3 = 4$ (direita).

- determinando as estimativas da *posteriori* As estimativas de θ em relação a cada variância atribuída a “proposta” com “burning” das 100 primeiras observações resulta em:

```
> theta.hat = as.numeric(c(round(mean(m1$x[100:n]), 4), round(mean(m2$x[100:n]),
+ 4), round(mean(m3$x[100:n]), 4)))
```

σ_Y	0.05	2	4
$\hat{\mu}_X$	-0.4872	0.0989	0.0057

Exemplo 8: Suponha que queiramos simular valores $X \sim N(0; 1)$ propondo valores $Y \sim Cauchy(0; \sigma)$.

- Para a distribuição proposta (Cauchy) selecione experimentalmente o valor de σ que maximiza a taxa de aceitação.
- Para este valor de σ faça os gráficos dos valores simulados da cadeia ao longo das iterações e verifique se há indicação de convergência.
- Repita os itens anteriores com a distribuição proposta $Cauchy(\theta; \sigma)$.

A distribuição Cauchy deriva de uma distribuição t-student com 1 grau de liberdade. Considerando a distribuição t-student:

$$f(t|\mu; \sigma^2) = \frac{\Gamma\left(\frac{n+1}{2}\right) n^{n/2}}{\Gamma\left(\frac{n}{2}\right)} \left[n + \frac{(t-\mu)^2}{\sigma^2}\right]^{-\frac{(n+1)}{2}} \quad t \in \mathbb{R}$$

então, para $n = 1$ grau de liberdade, temos:

$$Cauchy(y|\mu; \sigma) = \left(\pi \sigma \left[1 + \left(\frac{y-\mu}{\sigma}\right)^2\right]\right)^{-1}$$

que representa a distribuição de Cauchy com parâmetro de locação μ e parâmetro de escala σ .

Solução item (a):

- obtendo a expressão da probabilidade de aceitação/rejeição.

$$\alpha(x; y) = \min \left\{ 1; \frac{\pi(y)}{\pi(x)} \frac{q(x|y)}{q(y|x)} \right\}$$

$$\alpha(x; y) = \min \left\{ 1; \frac{\exp\{-0.5 y^2\}}{\exp\{-0.5 x^2\}} \frac{\left(\pi \sigma \left[1 + \left(\frac{x-0}{\sigma}\right)^2\right]\right)^{-1}}{\left(\pi \sigma \left[1 + \left(\frac{y-0}{\sigma}\right)^2\right]\right)^{-1}} \right\}$$

$$\alpha(x; y) = \min \left\{ 1; \exp \left\{ -\frac{1}{2} (y^2 - x^2) \right\} \left(\frac{\sigma^2 + y^2}{\sigma^2 + x^2} \right) \right\}$$

- Definindo a função para executar o algoritmo.

```
> # proposta Cauchy
> metrop = function(n,sigma){
+   x = matrix(NA, nrow=n)
+   x[1] = 0 # escolha arbitrária
```

```

+ sucess = 0
+ for (i in 2:n){
+   y = rcauchy(1,0,sigma)
+   prob = min(1,exp(-0.5*(y^2-x[i-1]^2))*(y^2 + sigma^2)/(x[i-1]^2 + sigma^2))
+   u = runif(1)
+   if (u < prob) {
+     x[i] = y
+     sucess = sucess + 1
+   }
+   else x[i] = x[i-1]
+ }
+ return(list(x=x,taxa=round(sucess/n,4)))
+ }

```

Nesta função, n representa o número de simulações, σ é o parâmetro de escala da “proposta”, y é simulado da distribuição da “proposta” com média igual zero e σ como parâmetro de escala.

- Simulando 1000 valores com diferentes valores de σ da “proposta” $q()$.

```

> n = 1000
> sigma = c(0.545, 2, 3)
> m1 = metrop(n, sigma[1])
> m2 = metrop(n, sigma[2])
> m3 = metrop(n, sigma[3])
> taxa.r = as.numeric(c(m1$taxa, m2$taxa, m3$taxa))
> cat("\n Taxa de aceitação", taxa.r, "\n")
Taxa de aceitação 0.693 0.439 0.32

```

A maior taxa de aceitação foi de 69.3% obtida para o valor de $\sigma = 0.545$ após várias e sucessivas tentativas em um intervalo em torno desse valor. **Solução item (b):**

- Construindo gráficos dos valores simulados para $\sigma_1 = 0.545$

```

> par(mfrow = c(1, 3))
> plot(m1$x, type = "l", xlab = "iterações", ylab = expression(theta))
> acf(m1$x, main = "", xlab = "defasagens", ylab = "autocorrelações")
> qqnorm(m1$x[seq(100, n, 5)], pch = "*", main = "", xlab = "Quantil teorico",
+         ylab = "Quantil amostral")
> qqline(m1$x[seq(100, n, 5)], lwd = 1)

```

- Construindo gráficos dos valores simulados para $\sigma_2 = 2$

```

> par(mfrow = c(1, 3))
> plot(m2$x, type = "l", xlab = "iterações", ylab = expression(theta))
> acf(m2$x, main = "", xlab = "defasagens", ylab = "autocorrelações")
> qqnorm(m2$x[seq(100, n, 5)], pch = "*", main = "", xlab = "Quantil teorico",
+         ylab = "Quantil amostral")
> qqline(m2$x[seq(100, n, 5)], lwd = 1)

```

- Construindo gráficos dos valores simulados para $\sigma_3 = 3$

```

> par(mfrow = c(1, 3))
> plot(m3$x, type = "l", xlab = "iterações", ylab = expression(theta))
> acf(m3$x, main = "", xlab = "defasagens", ylab = "autocorrelações")
> qqnorm(m3$x[seq(100, n, 5)], pch = "*", main = "", xlab = "Quantil teorico",
+         ylab = "Quantil amostral")
> qqline(m3$x[seq(100, n, 5)], lwd = 1)

```

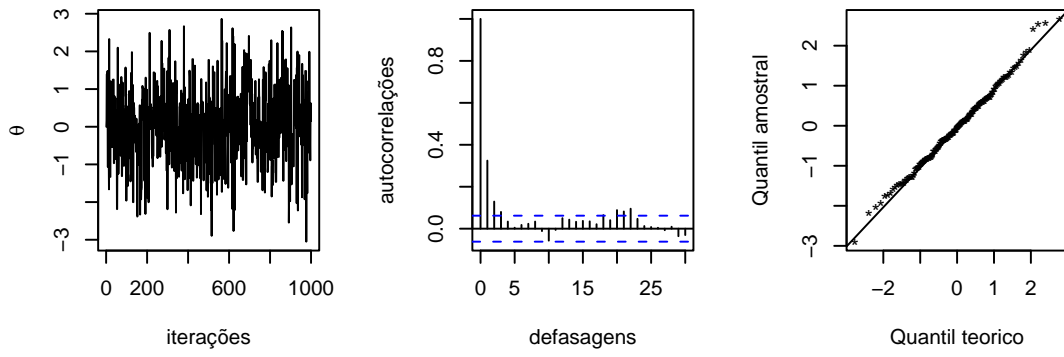


Figura 11: Iterações (esquerda), correlações (centro) de 1000 valores simulados usando o algoritmo de Metropolis-Hastings com $\sigma = 0.545$ e taxa de aceitação de 69.3% e qqplot (direita) com *burning* dos 100 primeiros valores e *thinning* de 5 em 5.

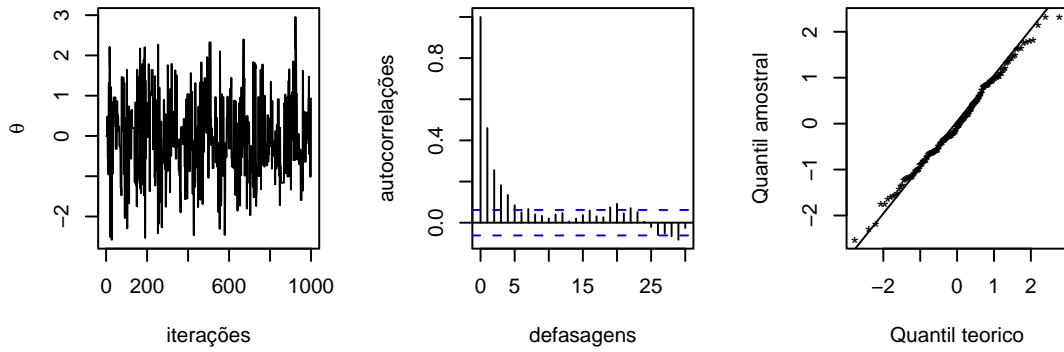


Figura 12: Iterações (esquerda), correlações (centro) de 1000 valores simulados usando o algoritmo de Metropolis-Hastings com $\sigma = 2$ e taxa de aceitação de 43.9% e qqplot (direita) com *burning* dos 100 primeiros valores e *thinning* de 5 em 5.

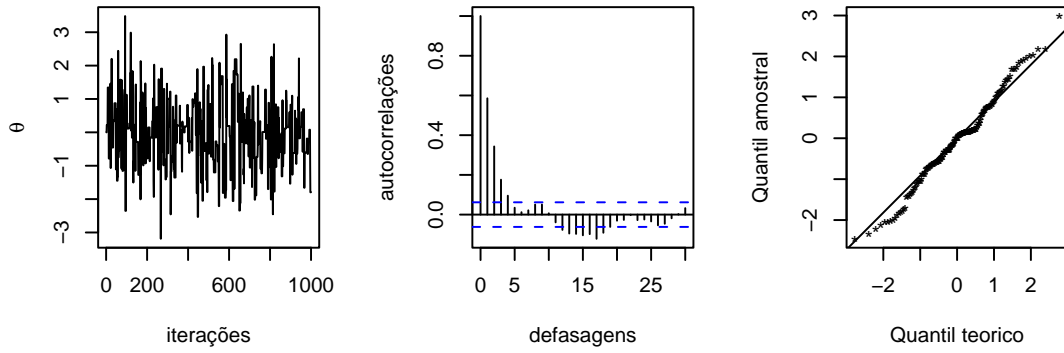


Figura 13: Iterações (esquerda), correlações (centro) de 1000 valores simulados usando o algoritmo de Metropolis-Hastings com $\sigma = 3$ e taxa de aceitação de 32% e qqplot (direita) com *burning* dos 100 primeiros valores e *thinning* de 5 em 5.

- Distribuição da *posteriori* para $\sigma_1 = 0.545$, $\sigma_2 = 2$ e $\sigma_3 = 3$.

```
> par(mfrow = c(1, 3))
> hist(m1$x[seq(100, n, 5)], main = "", xlab = "")
> hist(m2$x[seq(100, n, 5)], main = "", xlab = "")
> hist(m3$x[seq(100, n, 5)], main = "", xlab = "")
```

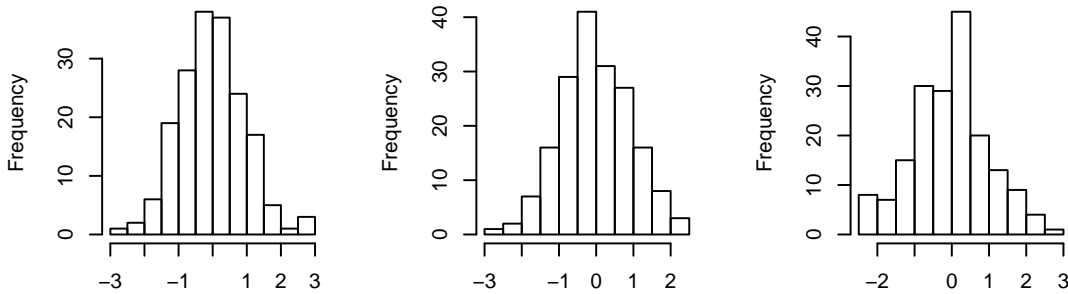


Figura 14: Distribuição da *posteriori* para $\sigma_1 = 0.545$ (esquerda), $\sigma_2 = 2$ (centro) e $\sigma_3 = 3$ (direita).

- determinando as estimativas da *posteriori* As estimativas de θ em relação a cada variância atribuída a “proposta” com “burning” das 100 primeiras observações resulta em:

```
> theta.hat = as.numeric(c(round(mean(m1$x[100:n]), 4), round(mean(m2$x[100:n]),
+ 4), round(mean(m3$x[100:n]), 4)))
```

σ_Y	0.545	2	3
$\hat{\mu}_X$	0.048	-0.0763	-0.0396

- Densidade de uma distribuição *Cauchy* com parâmetros de dispersão iguais a $\sigma = 0.545$, $\sigma = 2$ e $\sigma = 3$

```
> par(mfrow = c(1, 1))
> x <- seq(-4, 4, 1 = 501)
> C1 <- dcauchy(x, 0, sigma[1])
> C2 <- dcauchy(x, 0, sigma[2])
> C3 <- dcauchy(x, 0, sigma[3])
> plot(x, C1, ty = "l")
> lines(x, C2, lty = 2)
> lines(x, C3, lty = 3)

> par(mfrow = c(1, 1))
> x <- seq(-4, 4, 1 = 501)
> C1 <- dcauchy(x, 0, sigma[1])
> C2 <- dcauchy(x, 0, sigma[2])
> C3 <- dcauchy(x, 0, sigma[3])
> plot(x, C1, ty = "l")
> lines(x, C2, lty = 2)
> lines(x, C3, lty = 3)
```

Figura 15: Densidade de uma distribuição *Cauchy* com parâmetros de dispersão iguais a $\sigma = 0.545$ (linha contínua), $\sigma = 2$ (linha pontilhada maior) e $\sigma = 3$ (linha pontilhada menor)

5.2 Algoritmo Amostrador de Gibbs

No método amostrador de Gibbs, as transações de estado são feitas de acordo com as distribuições condicionais completas, dadas por:

$$\pi(\theta_i | \boldsymbol{\theta}_{-i}) = \frac{\pi(\boldsymbol{\theta})}{\int \pi(\boldsymbol{\theta}) d\theta_i} \quad (2)$$

onde $\boldsymbol{\theta}_{-i} = \mathbb{I}_{-i}\boldsymbol{\theta}$, sendo $\boldsymbol{\theta} = (\theta_1, \theta_2, \dots, \theta_p)'$, $i = 1, 2, \dots, p$, ou seja:

$$\boldsymbol{\theta}_{-i} = \begin{bmatrix} \theta_1 \\ \theta_2 \\ \vdots \\ \theta_{i-1} \\ \theta_{i+1} \\ \vdots \\ \theta_p \end{bmatrix}_{(p-1) \times 1} = \begin{bmatrix} 1 & 0 & \dots & 0 & 0 & 0 & \dots & 0 \\ 0 & 1 & \dots & 0 & 0 & 0 & \dots & 0 \\ \vdots & \vdots & \ddots & \vdots & \vdots & \vdots & \ddots & \vdots \\ 0 & 0 & \dots & 1 & 0 & 0 & \dots & 0 \\ 0 & 0 & \dots & 0 & 0 & 1 & \dots & 0 \\ \vdots & \vdots & \ddots & \vdots & \vdots & \vdots & \ddots & \vdots \\ 0 & 0 & \dots & 0 & 0 & 0 & \dots & 1 \end{bmatrix}_{(p-1) \times p} \begin{bmatrix} \theta_1 \\ \theta_2 \\ \vdots \\ \theta_p \end{bmatrix}_{p \times 1}$$

A matriz \mathbb{I}_{-i} corresponde a uma matriz identidade excluída a i -ésima linha. Em outras palavras, podemos dizer que a distribuição condicional completa é a distribuição da i -ésima componente $\boldsymbol{\theta}$ condicionada em todas as outras componentes. A equação 2 também pode ser escrita como: $\pi(\boldsymbol{\theta}) = \pi(\theta_i | \boldsymbol{\theta}_{-i})\pi_{\boldsymbol{\theta}_{-i}}(\boldsymbol{\theta}_{-i})$. Queremos gerar uma amostra de $\pi(\boldsymbol{\theta})$ onde a transição se dá da seguinte forma:

- especificamos valores para um vetor inicial $\boldsymbol{\theta}^{(0)}$;
- calcula-se a probabilidade de θ_1 condicionada aos θ' s restantes com os valores especificados inicialmente;
- nas transições de θ_{r-1} para θ_r , $r = 2, 3, \dots, p$, calcula-se, para θ_r , a probabilidade $\pi(\theta_r | \boldsymbol{\theta}_{-r})$ substituindo em $\boldsymbol{\theta}_{-r}$ o valor de θ_{r-1} calculado no passo anterior.

Segundo Paulino, Turkman e Murteira (2003)³ este procedimento é o adotado pelo algoritmo de Metropolis-Hastings com $q(\theta; \theta')$ e $q(\theta'; \theta)$ positivas se e somente se θ e θ' diferirem no máximo em uma coordenada. Se as distribuições condicionais completas forem conhecidas, então o algoritmo será desenvolvido como:

1. Inicie o contador de iterações em $t = 0$ e defina o número n de iterações;
2. Especifique valores iniciais para $\boldsymbol{\theta}^{(0)}$;
3. Avance t fazendo $t = t + 1$ e obtenha $\boldsymbol{\theta}^{(t)}$ a partir de $\boldsymbol{\theta}^{(t-1)}$ por geração sucessiva de valores

$$\begin{aligned} \theta_1^{(t)} &\sim \pi(\theta_1 | \theta_2^{(t-1)}, \theta_3^{(t-1)}, \theta_4^{(t-1)}, \dots, \theta_p^{(t-1)}) \\ \theta_2^{(t)} &\sim \pi(\theta_2 | \theta_1^{(t)}, \theta_3^{(t-1)}, \theta_4^{(t-1)}, \dots, \theta_p^{(t-1)}) \\ \text{como: } \theta_3^{(t)} &\sim \pi(\theta_3 | \theta_1^{(t)}, \theta_2^{(t)}, \theta_4^{(t-1)}, \dots, \theta_p^{(t-1)}) \\ &\vdots \\ \theta_p^{(t)} &\sim \pi(\theta_p | \theta_1^{(t)}, \theta_2^{(t)}, \theta_3^{(t)}, \dots, \theta_{p-1}^{(t)}) \end{aligned}$$
4. Se $t = n$, encerrar;
5. Voltar a etapa 3

Exemplo 9: Em um processo de contagem no qual foram observados $Y_1, Y_2, \dots, Y_m, Y_{m+1}, \dots, Y_n$, suspeita-se que houve um ponto de mudança m tal que:

³Paulino, Carlos Daniel; Turkman, M. Antónia Amaral; Murteira, Bento. *Estatística Bayesiana*. Lisboa: Fundação Calouste Gulbenkian, 2003. ISBN 972-31-1043-1

$$\begin{aligned} Y_i &\sim Poisson(\lambda), \quad i = 1, \dots, m \\ Y_i &\sim Poisson(\phi), \quad i = (m+1), \dots, n. \end{aligned}$$

Assumindo-se as distribuições *a priori* independentes $\lambda \sim Gamma(a; b)$, $\phi \sim Gamma(c; d)$ e $p(m) = 1/n$, estimar o ponto de mudança m e os parâmetros λ e ϕ (CARLIN, *et all*)⁴. **Solução**

- Calculando a *posteriori*

$$\begin{aligned} p(\lambda; \phi; m | \mathbf{y}) &\propto \left(\prod_{i=1}^m e^{-\lambda} \lambda^{y_i} \right) \left(\prod_{i=1}^m e^{-\phi} \phi^{y_i} \right) \lambda^{a-1} e^{-b\lambda} \phi^{c-1} e^{-d\phi} \left(\frac{1}{n} \right) \\ p(\lambda; \phi; m | \mathbf{y}) &\propto \lambda^{a+t_1-1} e^{-(b+m)\lambda} \phi^{c+t_2-1} e^{-(d+n-m)\phi} \left(\frac{1}{n} \right) \end{aligned}$$

onde $t_1 = \sum_{i=1}^m y_i$ e $t_2 = \sum_{i=m+1}^n y_i$.

- Calculando as distribuições condicionais completas.

- (a) Para o parâmetro λ :

$$\begin{aligned} p(\lambda | \phi; m; \mathbf{y}) &= \frac{p(\lambda; \phi; m; \mathbf{y})}{p(\phi; m; \mathbf{y})} = \frac{p(\mathbf{y} | \lambda; \phi; m) p(\lambda; \phi; m)}{p(\phi; m; \mathbf{y})} \\ p(\lambda | \phi; m; \mathbf{y}) &= \frac{p(\mathbf{y} | \lambda; \phi; m) p(\lambda) p(\phi) p(m)}{p(\phi; m; \mathbf{y})} \end{aligned}$$

Como $p(m)$, $p(\phi)$ e $p(\phi; m; \mathbf{y})$ não envolvem o parâmetro λ de interesse, então:

$$\begin{aligned} p(\lambda | \phi; m; \mathbf{y}) &\propto p(\mathbf{y} | \lambda; \phi; m) p(\lambda) \\ p(\lambda | \phi; m; \mathbf{y}) &\propto \left(\prod_{i=1}^m e^{-\lambda} \lambda^{y_i} \right) \left(\prod_{i=1}^m e^{-\phi} \phi^{y_i} \right) \lambda^{a-1} e^{-b\lambda} \end{aligned}$$

Novamente $\prod_{i=1}^m e^{-\phi} \phi^{y_i}$ não envolve λ , então:

$$\begin{aligned} p(\lambda | \phi; m; \mathbf{y}) &\propto \left(\prod_{i=1}^m e^{-\lambda} \lambda^{y_i} \right) \lambda^{a-1} e^{-b\lambda} \\ p(\lambda | \phi; m; \mathbf{y}) &\propto e^{-m\lambda} \lambda_1^t \lambda^{a-1} e^{-b\lambda} \\ p(\lambda | \phi; m; \mathbf{y}) &\propto \lambda^{a+t_1-1} e^{-(m+b)\lambda} \sim Gamma(a + t_1; b + m) \end{aligned}$$

- (b) Para o parâmetro ϕ :

Com um desenvolvimento análogo ao item (a) temos:

$$p(\phi | \lambda; m; \mathbf{y}) \propto \phi^{c+t_2-1} e^{-(d+n-m)\phi} \sim Gamma(c + t_2; d + n - m)$$

- (c) Para o parâmetro m :

Com um desenvolvimento análogo ao item (a) temos:

$$p(m | \lambda; \phi; \mathbf{y}) \propto \lambda_1^t e^{-m\lambda} \phi^{t_2} e^{-(n-m)\phi}, \quad m = 1, \dots, n$$

- Escrevendo a função de implementação do algoritmo.

```
> rm(list=ls(all=TRUE))
> Gibbs=function(a,b,c,d,y,n,nburn){
+ # Amostrador de Gibbs para dados Poisson com
+ # mudança de regime. Prioris Gamma para as medias.
+ #
+ # n: numero de simulacoes
+ # nburn: numero de amostras de aquecimento
+ # a,b,c,d: parametros das prioris Gamma
+ # N: numero de observacoes de Y
+ #
```

⁴.... localizar ...

```

+ N=length(y)
+ lambda=matrix(0,nrow=n)
+ phi=matrix(0,nrow=n)
+ m=matrix(0,nrow=n)
+ #
+ # especificacao dos valores iniciais dos parametros
+ lambda[1]=1
+ phi[1]=1
+ m[1]=10
+ #
+ # loop 1
+ for (i in 2:n) {
+     t1=sum(y[1:m[i-1]])
+     t2=0
+     # testa condicao 1
+     if (m[i-1]<N){
+         t2=sum(y[(m[i-1]+1):N])
+     } # fim do teste da condicao 1
+     # gerando 1 valor de lambda da gamma(a+t1;b+m) que
+     # corresponde a distribuicao condicional completa da
+     # posteriori de lambda dado m, phi e y
+     set.seed(121)
+     lambda[i]=rgamma(1,(a+t1),(b+m[i-1]))
+     # gerando 1 valor de phi da gamma(c+t2;d+N-m) que
+     # corresponde a distribuicao condicional completa da
+     # posteriori de phi dado m, phi e y
+     set.seed(121)
+     phi[i]=rgamma(1,(c+t2),(d+N-m[i-1]))
+     prob=NULL
+     # loop 2
+     for (j in 1:N) {
+         t1=sum(y[1:j])
+         t2=0
+         # testa condicao 2
+         if (j<N){
+             t2=sum(y[(j+1):N])
+         } # fim do teste da condicao 2
+         # calculando a distribuicao condicional completa da
+         # posteriori de m dado lambda, phi e y
+         aux=(lambda[i]^t1)*exp(-j*lambda[i])*(phi[i]^t2)*exp(-(N-j)*phi[i])
+         # a linha seguinte é a posteriori condicional
+         # completa de m mas nao eh f.d.p.
+         prob=c(prob,aux)
+     } # fim do loop 2
+     soma=sum(prob)
+     # torna m uma distribuicao de probabilidades (f.d.p)
+     probm=prob/soma
+     # amostra um valor de m de um conjunto que varia
+     # de 1 a N, com probabilidade 'probm'
+     m[i]=sample(x=(1:N), size=1, prob=probm)
+ } # fim do loop1
+ # print(round(table(m[nburn+1:n])/(n-nburn),3))
+ return(theta=list(lambda=lambda,phi=phi,m=m))
+ } # fim da funcao Gibbs

```

- Especificando dados de entrada da função Gibbs

> a=0.1

```

> b=0.1
> c=0.1
> d=0.1
> y=c(rpois(23,2),rpois(17,5)) # simulando o vetor de observações
> n=1000 # numero de iteracoes
> nburn=100

```

- Passando valores para a função

```
> g = Gibbs(a, b, c, d, y, n, nburn)
```

- Determinando a distribuição de probabilidade dos 1000 valores simulados de m (ponte de mudança), descontados os 100 primeiros valores de *Burn in* simulados.

```

> #print(round(table(g$m[nburn+1:n])/(n-nburn),3))
> # extraindo os resultados de m 'queimando' os \Sexpr{nburn} primeiros
> foo1=prop.table(table(g$m[nburn+1:n]))
> # convertendo em um data.frame
> foo2=data.frame(m=as.integer(names(foo1)),Freq=as.numeric(foo1))

> library(xtable)
> xtable(foo2, caption = "Tabela de frequências relativas dos valores de corte simulados",
+         "tab:one")

```

	m	Freq
1	15	0.00
2	16	0.00
3	17	0.01
4	18	0.01
5	19	0.02
6	20	0.08
7	21	0.03
8	22	0.05
9	23	0.49
10	24	0.19
11	25	0.03
12	26	0.04
13	27	0.02
14	28	0.02
15	29	0.00
16	30	0.00
17	33	0.00

Tabela 1: Tabela de frequências relativas dos valores de corte simulados

A tabela 1 indica que o valor de $m=23$ aparece com uma frequência de 48.89% dos resultados, indicando ser o valor do ponto de mudança com maior probabilidade.

- Gerando gráficos das cadeias simuladas, após um período de “aquecimento” (*Burn in*) para o parâmetro m .

```

> par(mar = c(3.5, 3.5, 0.5, 0.5), mgp = c(2, 0.8, 0), mfrow = c(1,
+            3))
> range = ((nburn + 1):n)
> plot(g$m[range], type = "l", ylab = "m", lwd = 0.5, xlab = "Iteracao")
> acf(g$m[range], main = "", xlab = "defasagem", ylab = "autocorrelações")
> plot(foo1, ylab = "Frequencia relativa", xlab = "Ponto de mudança")

```

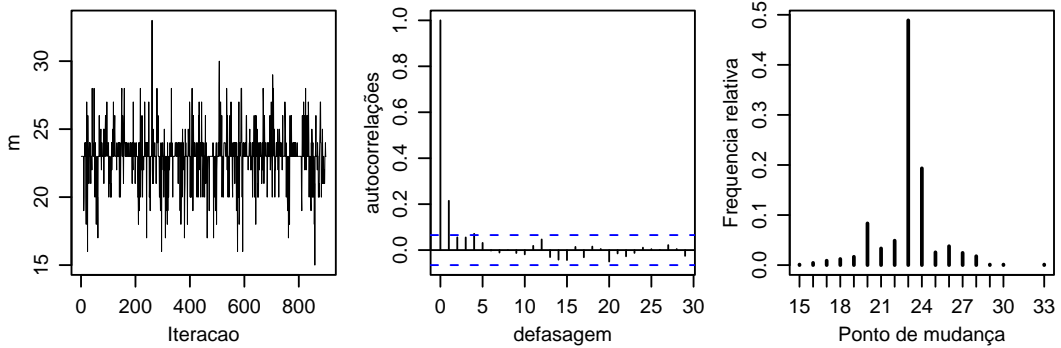


Figura 16: Iterações, autocorrelações e distribuição de frequências relativa do ponto de mudança do processo de Poisson

- Gerando gráficos das cadeias simuladas, após um período de “aquecimento” (*Burn in*) para o parâmetro λ .

```
> par(mar = c(3.5, 3.5, 0.5, 0.5), mgp = c(2, 0.8, 0), mfrow = c(1,
+      3))
> range = ((nburn + 1):n)
> plot(g$lambda[range], type = "l", ylab = expression(lambda),
+      lwd = 0.5, xlab = "Iteracao")
> acf(g$lambda[range], main = "", xlab = "defasagem", ylab = "autocorrelações")
> plot(density(g$lambda[range]), cex = 0.7, lwd = 0.5, main = "",
+      xlab = expression(lambda))
```

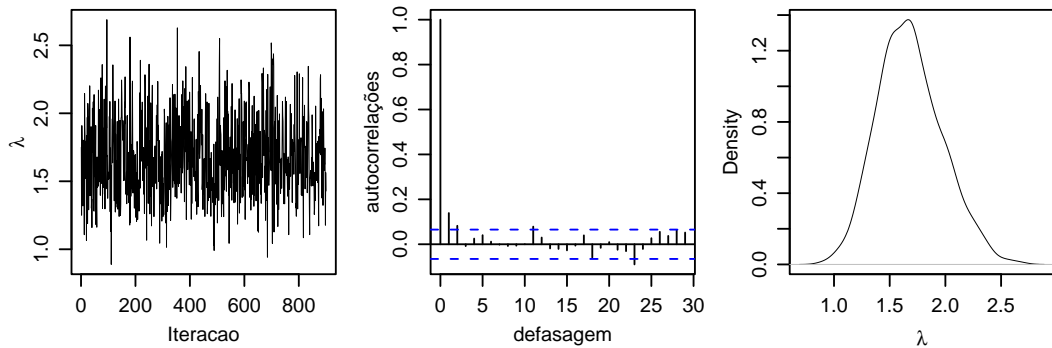


Figura 17: Iterações, autocorrelações e densidade (distribuição de probabilidades) do parâmetro λ

- Gerando gráficos das cadeias simuladas, após um período de “aquecimento” (*Burn in*) para o parâmetro ϕ .

```
> par(mar = c(3.5, 3.5, 0.5, 0.5), mgp = c(2, 0.8, 0), mfrow = c(1,
+      3))
> range = ((nburn + 1):n)
> plot(g$phi[range], type = "l", lwd = 0.5, ylab = expression(phi),
+      xlab = "Iteracao")
> acf(g$phi[range], main = "", xlab = "defasagem", ylab = "autocorrelações")
> plot(density(g$phi[range]), cex = 0.7, lwd = 0.5, main = "",
+      xlab = expression(phi))
```

- Comparando ϕ com λ pela diferença entre eles.

```
> par(mar = c(3.5, 3.5, 0.5, 0.5), mgp = c(2, 0.8, 0), mfrow = c(1,
+      3))
> dif = g$phi[range] - g$lambda[range]
```

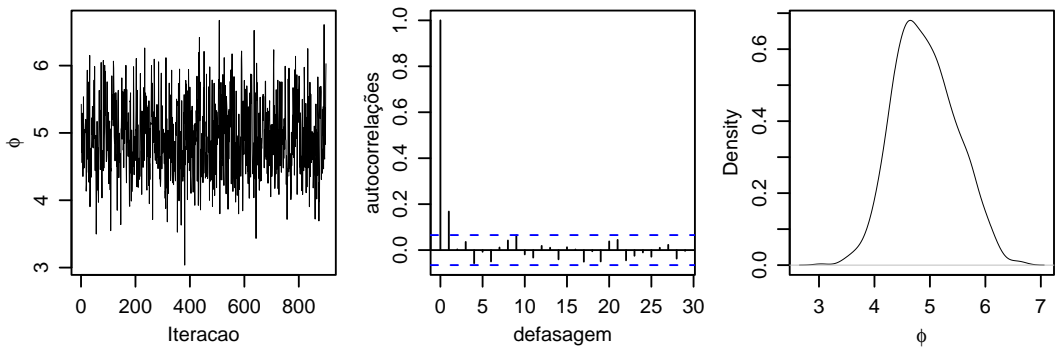


Figura 18: Iterações, autocorrelações e densidade (distribuição de probabilidades) do parâmetro ϕ

```
> par(mfrow = c(1, 3))
> plot(dif, type = "l", ylab = expression(phi - lambda), xlab = "Iteracao")
> acf(dif, main = "")
> plot(density(dif), main = "", lwd = 0.5, xlab = expression(phi -
+ lambda))
> rug(dif)
```

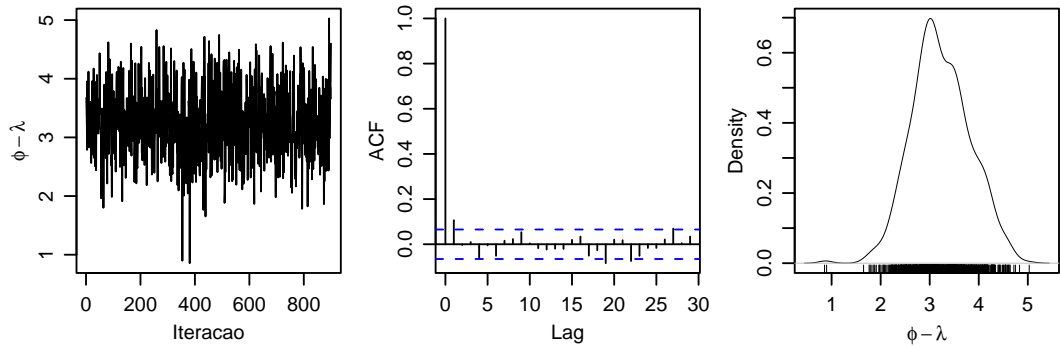


Figura 19: Iterações, autocorrelações e densidade da diferença dos parâmetros ϕ e λ

- Estimação das contagens médias dos processos de Poisson condicionado nos valores de $m = 23$ com maior probabilidade a posteriori.

```
> xp = matrix(0, nrow = n - nburn, ncol = 3)
> xp[, 1] = g$lambda[range]
> xp[, 2] = g$phi[range]
> xp[, 3] = g$m[range]
> lambda.22 = xp[, 1][xp[, 3] == max.m]
> phi.22 = xp[, 2][xp[, 3] == max.m]
> par(mfrow = c(1, 2))
> plot(lambda.22, type = "l", ylab = "", xlab = "Iteração")
> plot(phi.22, type = "l", ylab = "", xlab = "Iteração")
```

Exemplo 10: Suponha que $Y_1, \dots, Y_n \sim N(\mu; \sigma^2)$ com μ e σ desconhecidos. Defina $\tau = \sigma^{-2}$ e obtenha a distribuição condicional completa dos parâmetros, a partir de 50 observações de Y simuladas.

- Obtendo a função de verossimilhança.

$$p(\mathbf{y}|\mu, \tau) \propto \tau^{n/2} \exp \left\{ -\frac{\tau}{2} \sum_{t=1}^n (y_t - \mu)^2 \right\}$$

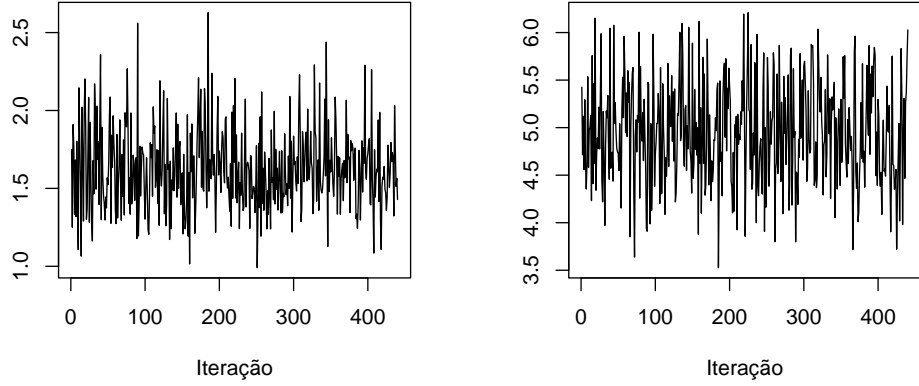


Figura 20: À esquerda, densidade de $(\lambda|m = 23)$ e a direita, densidade de $(\phi|m = 23)$

- Especificando as prioris independentes:
 - $\mu \sim N(0; s^2)$;
 - $\tau \sim Gamma(a; b)$.
- Obtendo a *posteriori* conjunta.

$$\begin{aligned} p(\mu; \tau | \mathbf{y}) &\propto p(\mathbf{y}|\mu; \tau)p(\mu)p(\tau) \\ &\propto \tau^{n/2} \exp\left\{-\frac{\tau}{2} \sum_{t=1}^n (y_t - \mu)^2\right\} \exp\left\{-\frac{\mu^2}{2s^2}\right\} \tau^{a-1} e^{-b\tau} \end{aligned}$$

- Calculando as condicionais completas.

Solução para $(\mu|\mathbf{y}; \tau)$

$$\begin{aligned} p(\mu|\mathbf{y}; \tau) &\propto p(\mu; \mathbf{y}; \tau) \\ &\propto p(\mathbf{y}|\mu; \tau) p(\mu; \tau) \\ &\propto p(\mathbf{y}|\mu; \tau) p(\mu) p(\tau) \\ &\propto p(\mathbf{y}|\mu; \tau) p(\mu) \\ &\propto \tau^{n/2} \exp\left\{-\frac{\tau}{2} \sum_{t=1}^n (y_t - \mu)^2\right\} \exp\left\{-\frac{\mu^2}{2s^2}\right\} \\ &\propto \exp\left\{-\frac{\tau}{2} \sum_{t=1}^n (y_t^2 - 2\mu y_t + \mu^2)\right\} \exp\left\{-\frac{\mu^2}{2s^2}\right\} \\ &\propto \exp\left\{-\frac{\tau}{2} \left(\sum_{t=1}^n y_t^2 - 2n\mu\bar{y} + n\mu^2 \right)\right\} \exp\left\{-\frac{\mu^2}{2s^2}\right\} \\ &\propto \exp\left\{n\tau\mu\bar{y} - \frac{n\tau\mu^2}{2} - \frac{\mu^2}{2s^2}\right\} \\ &\propto \exp\left\{-\frac{1}{2} \left[-2n\tau\mu\bar{y} + \left(n\tau + \frac{1}{s^2}\right)\mu^2 \right]\right\} \end{aligned}$$

fazendo $C^{-1} = n\tau + \frac{1}{s^2}$ e $m = C\bar{y}n\tau \Rightarrow \bar{y} = \frac{m}{Cn\tau}$. Assim:

$$\begin{aligned} p(\mu|\mathbf{y}; \tau) &\propto \exp \left\{ -\frac{1}{2} \left(-2n\tau\mu \frac{m}{Cn\tau} + \frac{\mu^2}{C} \right) \right\} \\ &\propto \exp \left\{ -\frac{1}{2C} (-2m\mu + \mu^2 + m^2 - m^2) \right\} \\ &\propto \exp \left\{ -\frac{1}{2C} (\mu - m)^2 \right\} \end{aligned}$$

Logo, $(\mu|\mathbf{y}; \tau) \sim N(m; C)$

Solução para $(\mu|\mathbf{y}; \tau)$

$$\begin{aligned} p(\tau|\mathbf{y}; \mu) &\propto p(\mu; \mathbf{y}; \tau) \\ &\propto p(\mathbf{y}|\mu; \tau) p(\mu; \tau) \\ &\propto p(\mathbf{y}|\mu; \tau) p(\mu) p(\tau) \\ &\propto p(\mathbf{y}|\mu; \tau) p(\tau) \\ &\propto \tau^{n/2} \exp \left\{ -\frac{\tau}{2} \sum_{t=1}^n (y_t - \mu)^2 \right\} \tau^{a-1} e^{-b\tau} \\ &\propto \tau^{(a+n/2)-1} \exp \left\{ -\tau \left(b + \frac{1}{2} \sum_{t=1}^n (y_t - \mu)^2 \right) \right\} \end{aligned}$$

Logo, $(\tau|\mathbf{y}; \mu) \sim \text{Gamma} \left(a + \frac{n}{2}; b + \frac{1}{2} \sum_{t=1}^n (y_t - \mu)^2 \right)$

- Escrevendo a função de implementação do algoritmo.

```
> Gibbs=function(a,b,s2,y,n,nburn){
+ # Amostrador de Gibbs para dados Normais N(mu;sigma2) com
+ # prioris independentes mu ~ Normal(0,s2) e tau ~ gamma(a;b)
+ # tau=inv(sigma2)
+ # n: numero de simulacoes (iteracoes)
+ # nburn: numero de amostras de aquecimento
+ # a,b: parametros da priori Gamma
+ # N: numero de observacoes de Y
+ # s2: Variância das observacoes de Y
+ #
+ N=length(y)
+ mu.post=matrix(0,nrow=n)
+ tau.post=matrix(1,nrow=n)
+ #
+ tau.priori = rgamma(1,a,b)
+ tau.post[1] = tau.priori
+ mu.priori = rnorm(1,0,s2)
+ mu.post[1]= mu.priori
+ for (i in 2:n) {
+   C = 1/(N*tau.post[i-1] + 1/s2)
+   m = C*mean(y)*N*tau.post[i-1]
+   soma = sum((y-mu.post[i])^2)
+   mu.post[i] = rnorm(1,m,sqrt(C))
+   tau.post[i] = rgamma(1, a + N/2, b + 0.5*soma)
+ } #final do loop
+ return(list(mu.post=mu.post,tau.post=tau.post))
+ } # final da funcao
```

Notar que esse algoritmo gera $\mu^{(t)} | \tau^{(t-1)}; \mathbf{y}$ e $\tau(t) | (\mu^{(t)} = 0); \mathbf{y}$ onde somente $\mu(0)$ e $\tau(0)$ são obtidos das respectivas *priori*. Chama a atenção também que a geração da *posteriori* $\tau|0; \mathbf{y}$ irá depender somente de \mathbf{y} , não produzindo uma cadeia de dependência com a informação anterior. Cremos que o procedimento não é o correto e esta *posteriori* deveria depender de $\mu^{(t-1)}$ ou seja, da *posteriori* de μ gerado no passo anterior.

- Especificando os dados de entrada.

```
> # geração de uma amostra de tamanho 50 de uma distribuição normal de média zero e variância
> y = rnorm(50)
> n = 5000 # numero de iterações
> nburn=100 # 'queima' as 100 primeiras simulações (aquecimento)
> range=(nburn+1):n # faixa de valores aproveitados
> a=0.1
> b=0.1
> s2=1
```

- Executando a função.

```
> g = Gibbs(a, b, s2, y, n, nburn)
```

- Apresentação gráfica das posterioris completas.

```
> par(mar = c(3.5, 3.5, 0.5, 0.5), mgp = c(2, 0.8, 0), mfrow = c(3,
+      2))
> plot(g$mu.post[range], type = "l", ylab = expression(mu), xlab = "Iteração")
> plot(g$tau.post[range], type = "l", ylab = expression(tau), xlab = "Iteração")
> acf(g$mu.post[range], main = "", xlab = "Iterações")
> acf(g$tau.post[range], main = "", xlab = "Iterações")
> means = cumsum(g$mu.post[range])/(1:(n - nburn))
> plot(means, type = "l", ylab = expression(bar(mu)), xlab = "Iterações")
> means = cumsum(g$tau.post[range])/(1:(n - nburn))
> plot(means, type = "l", ylab = expression(bar(tau)), xlab = "Iterações")
```

- Média e desvio padrão das estimativas *a posteriori*

```
> linha = c("mu", "tau")
> coluna = c("media", "SD")
> data = round(c(mean(g$mu[range]), sd(g$mu[range]), mean(g$tau[range]),
+      sd(g$tau[range])), 3)
> result = matrix(data, nrow = 2, byrow = T)
> dimnames(result) <- list(linha, coluna)
> xtable(as.data.frame(result), caption = "Estatísticas descritivas",
+      "tab:two")
```

	media	SD
mu	0.10	0.11
tau	1.67	0.34

Tabela 2: Estatísticas descritivas

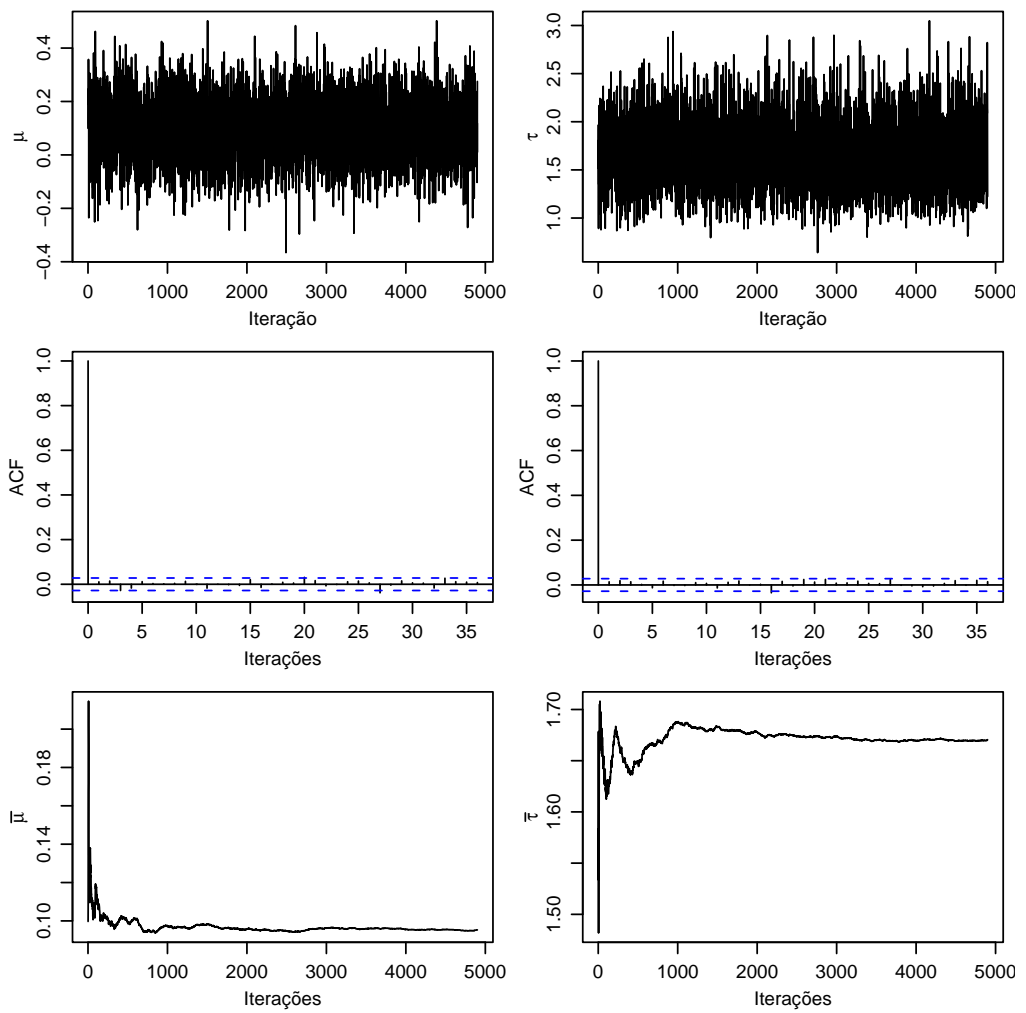


Figura 21: Iteração, autocorrelação e distribuição da média do parâmetro μ (esquerda) e do parâmetro τ (direita)